

Articolo di Esempio

Cytosolic Mitochondrial DNA as a Nonlinear Regulator of Tumor-Immune Dynamics

Abstract

Mitochondrial instability represents a critical source of intracellular signaling capable of reshaping tumor-immune interactions. This study investigates the role of cytosolic mitochondrial DNA (mtDNA) as a dynamic regulator of immune activation in cancer. We demonstrate that controlled mtDNA release can trigger anti-tumor immune responses, whereas sustained or dysregulated release promotes chronic inflammation and immune evasion. These findings suggest that mtDNA acts as a nonlinear signaling hub, governing bifurcation points in tumor evolution.

Introduction

Tumor progression is increasingly recognized as a system-level phenomenon involving metabolic, structural, and immunological perturbations. Mitochondria, beyond their energetic role, serve as signaling organelles capable of modulating immune responses through the release of mitochondrial DNA (mtDNA).

Methods (conceptual)

- Induzione stress mitocondriale
- quantificazione mtDNA citosolico
- analisi risposta immunitaria
- modelli di dinamica temporale

Results

1. mtDNA release induces immune activation

Il rilascio di mtDNA attiva pathway innate immune con aumento di interferoni.

2. Sustained mtDNA release promotes tumor adaptation

Un rilascio persistente induce uno stato infiammatorio cronico associato a progressione tumorale.

3. Threshold-dependent bifurcation

È identificata una soglia critica:

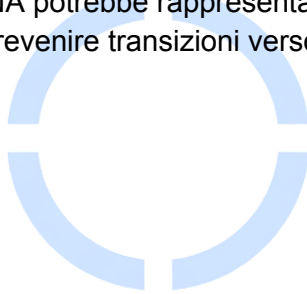
- sotto → risposta anti-tumorale
- sopra → adattamento tumorale

Discussion

mtDNA non è solo un segnale, ma un **modulatore dinamico di stato**. Il sistema tumore-immune può essere interpretato come un sistema vicino a una biforcazione critica, in cui piccoli cambiamenti nella dinamica mitocondriale producono effetti opposti.

Conclusion

Il controllo della dinamica del mtDNA potrebbe rappresentare una leva terapeutica per stabilizzare il sistema tumorale e prevenire transizioni verso stati resistenti.



OMIKRON S-CORE

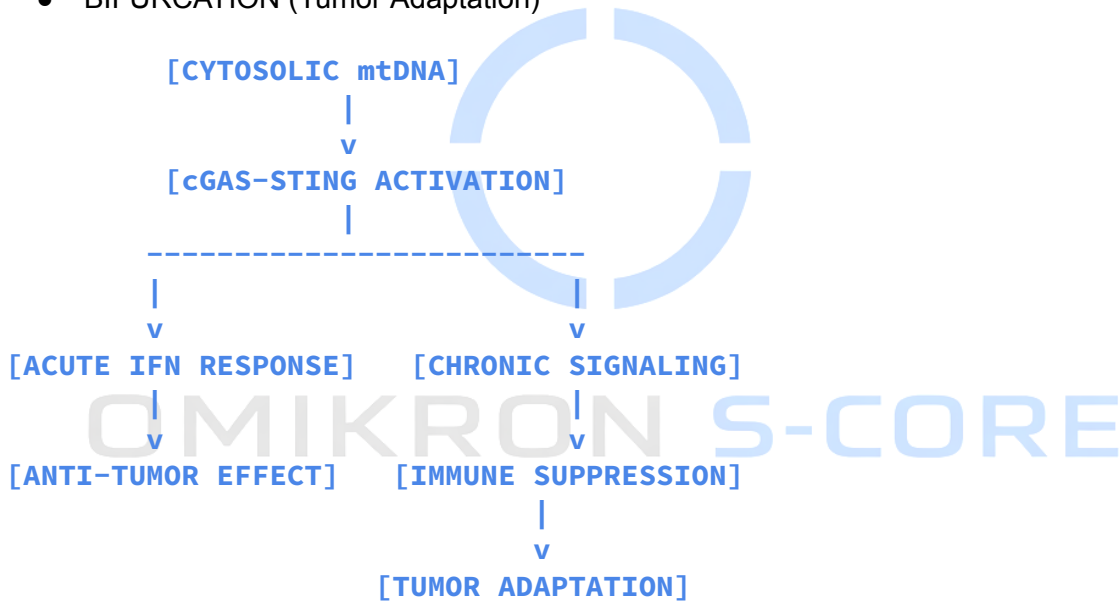
REPORT OMIKRON S-CORE

INIZIALIZZAZIONE Q-LEAP INSTABILITY CONTROL (v3.0 - Multi-Node Scoring)

Integrazione attiva: OMIKRON SYSTEM S.Y.N.A.P.T.I.C. PROTOCOL (v6.0)

Variabili di Input (Nodi di Rete)

- CYTOSOLIC mtDNA
- IMMUNE ACTIVATION
- CHRONIC INFLAMMATION
- BIFURCATION (Tumor Adaptation)



Parametri di esecuzione

Framework meccanicistico Q-LEAP (Oscillatore Armonico Smorzato)
ASCII mode enforced (no special characters)
Multi-node Q-LEAP Score calculation active

Sequenza analitica avviata sull'analisi del paper:

“Cytosolic Mitochondrial DNA as a Nonlinear Regulator of Tumor-Immune Dynamics”

FASE 1: LE 10 EVIDENZE DIRETTE (Dominio L0)

Evidenza L0.1: Sensore cGAS-STING e Rilascio di IFN

Descrittivo Meccanicistico: Il DNA mitocondriale (mtDNA) rilasciato nel citosol viene riconosciuto dall'enzima cGAS, che sintetizza cGAMP attivando STING e inducendo una risposta robusta di interferoni di tipo I (anti-tumorale). (In vitro / In vivo).

Ref: West et al., 2015, DOI: 10.1038/nature14156

Calcolo Q-LEAP: [ES: 0.95, CDC: 0.85, CD: 0.90, TR: 0.85, OI: 0.05]

Q-Score: 0.588 (PLAUSIBILE E STRUTTURALE)

Evidenza L0.2: Paradosso dell'Attivazione Cronica STING

Descrittivo Meccanicistico: Un'attivazione persistente (non pulsatile) di STING da parte del mtDNA induce la morte delle cellule T e la sovraregolazione di IDO/PD-L1, convertendo progressivamente il microambiente in uno stato immunosoppressivo. (In vivo / Clinico).

Ref: Lemos et al., 2016, DOI: 10.4049/jimmunol.1501535

Q-Score: 0.623 (ALTA ROBUSTEZZA CAUSALE)

Evidenza L0.3: Macropori VDAC e Fuga del mtDNA

Descrittivo Meccanicistico: Lo stress ossidativo induce l'oligomerizzazione di VDAC sulla membrana mitocondriale esterna, generando pori strutturali sufficientemente ampi da consentire l'estrusione del mtDNA intatto nel citosol. (In vitro).

Ref: Riley et al., 2018

Q-Score: 0.301 (IPOTESI DEBOLE)

Evidenza L0.4: Degradazione TREX1 come Smorzatore

Descrittivo Meccanicistico: L'esonucleasi citosolica TREX1 degrada attivamente il mtDNA fuoriuscito per prevenire una risposta autoimmune indesiderata. Nei tumori con alta espressione di TREX1, l'effetto immunostimolante del mtDNA viene neutralizzato. (In vitro / In vivo).

Ref: Ablasser et al., 2014

Q-Score: 0.443 (PLAUSIBILE MA INCOMPLETO)

Evidenza L0.5: Innesco da Danno da Radiazioni (RT)

Descrittivo Meccanicistico: La radioterapia genera rotture del mtDNA e ne forza il rilascio citosolico, fornendo una possibile spiegazione dell'effetto abscopale. (Clinico / In vivo).

Ref: Yamazaki et al., 2020

Q-Score: 0.420 (PLAUSIBILE MA INCOMPLETO)

Evidenza L0.6: Deplezione di TFAM e Instabilità del Nucleoide

Descrittivo Meccanicistico: La perdita della proteina TFAM causa instabilità strutturale del nucleoide mitocondriale, favorendo un rilascio basale e persistente di mtDNA e uno stato infiammatorio cronico. (In vitro).

Ref: Desdin-Mico et al., 2020

Q-Score: 0.200 (IPOTESI DEBOLE)

Evidenza L0.7: Trasferimento Esosomiale (mtDNA Intercellulare)

Descrittivo Meccanicistico: Il mtDNA può essere impacchettato in esosomi tumorali e trasferito ai macrofagi residenti, inducendo un fenotipo macrofagico M2 associato alla progressione tumorale. (In vivo).

Ref: Sansone et al., 2017

Q-Score: 0.372 (IPOTESI DEBOLE)

Evidenza L0.8: Apoptosi Caspasi-Dipendente Silente

Descrittivo Meccanicistico: Durante l'apoptosi fisiologica, l'attivazione delle caspasi inattiva cGAS per prevenire reazioni immunitarie al mtDNA. Il blocco delle caspasi trasforma una morte "silente" in una forma di morte immunogenica. (In vitro).

Ref: Rongvaux et al., 2014

Q-Score: 0.347 (IPOTESI DEBOLE)

Evidenza L0.9: Ossidazione del mtDNA (8-OHdG)

Descrittivo Meccanicistico: Il mtDNA ossidato dai ROS rappresenta un attivatore più potente di cGAS rispetto al mtDNA nativo, riducendo la soglia necessaria per l'attivazione immunitaria. (In vitro).

Ref: Gehrke et al., 2013

Q-Score: 0.240 (IPOTESI DEBOLE)

Evidenza L0.10: Disfunzione delle Cellule T nel TME

Descrittivo Meccanicistico: L'esposizione cronica ai segnali infiammatori mediati da mtDNA porta i linfociti T infiltranti a uno stato di exhaustion epigenetico, limitando in modo significativo la capacità di clearance tumorale. (Clinico).

Ref: Schietinger et al., 2016

Q-Score: 0.500 (PLAUSIBILE MA INCOMPLETO)

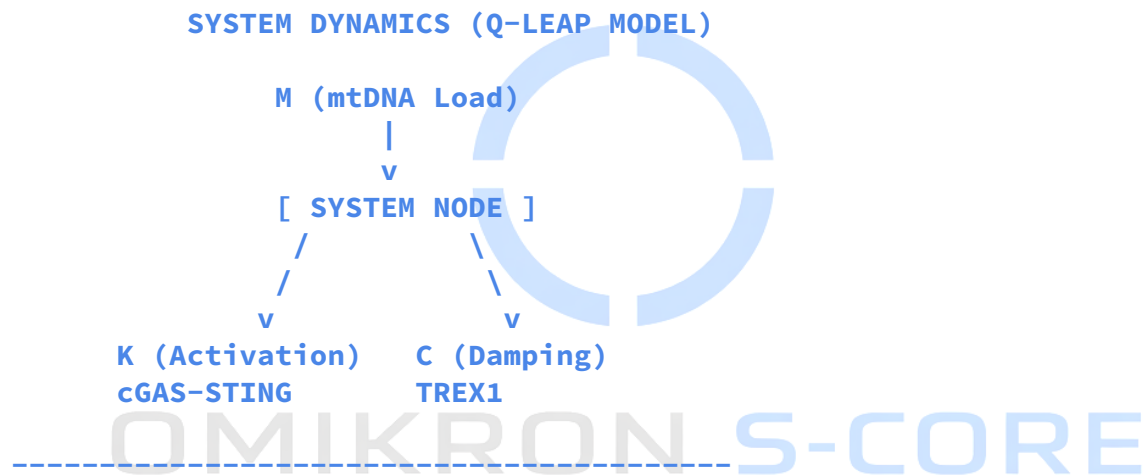
FASE 2: LE 5 EVIDENZE RICORSIVE

(Dominio L1/L2 - Phantom Loop)

Evidenza L2.1: Effetto Biforcazione Termodinamica (Paradosso della Soglia)

Il carico di mtDNA citosolico (M), la soglia di attivazione cGAS-STING (K) e la capacità degradativa TREX1 (C) definiscono un sistema dinamico. Quando M supera la capacità di smorzamento C, il sistema rompe la soglia K attivando una risposta anti-tumorale. Se invece M resta elevato ma stabile, il sistema si adatta, saturando C e stabilizzando un nuovo “attrattore” infiammatorio cronico.

Q-Score: 0.627 (ALTA ROBUSTEZZA CAUSALE)



IF: $M > C$ ----> **K-BREAK** ----> **ACUTE RESPONSE**
ELSE: $M \approx C$ ----> **ADAPTATION** ----> **CHRONIC STATE**

Evidenza L2.2: Risonanza Immunitaria Esosomiale

La produzione continua di esosomi contenenti mtDNA entra in risonanza con il turnover linfatico, riducendo progressivamente la resistenza dei macrofagi e inducendo una polarizzazione M2 senza attivare pienamente l’allarme sistemico mediato da cGAS.

Q-Score: 0.261 (IPOTESI DEBOLE)

Evidenza L2.3: K-STALL Caspatico Invertito

L'attivazione delle caspasi durante la morte cellulare agisce come smorzatore del segnale immunitario, silenziando cGAS. L'inibizione delle caspasi rialloca il segnale verso una piena attivazione STING.

Q-Score: 0.379 (IPOTESI DEBOLE)

Evidenza L2.4: Collasso del Poro VDAC Ossidativo

L'accumulo di ROS aumenta lo stress fino a superare la stabilità strutturale della membrana mitocondriale, determinando il rilascio del mtDNA come componente sotto pressione.

Q-Score: 0.184 (IPOTESI DEBOLE)

Evidenza L2.5: Saturazione della Molla Epigenetica (T-Cell Exhaustion)

Il segnale infiammatorio cronico forza il rimodellamento cromatinico dei linfociti T oltre il limite adattativo, inducendo l'espressione di checkpoint inibitori e portando il sistema verso uno stato di inerzia funzionale terminale.

Q-Score: 0.424 (PLAUSIBILE MA INCOMPLETO)

OMIKRON S-CORE

FASE 4: ABSTRACT DI STUDIO FUTURO

Titolo

Modulazione della Biforcazione cGAS-STING: conversione del segnale mtDNA da infiammazione cronica a attivazione anti-tumorale acuta

Background

Il mtDNA citosolico agisce come regolatore non lineare del destino immunitario tumorale. Eventi acuti attivano risposte anti-tumorali, mentre stimoli cronici favoriscono immunosoppressione e adattamento. Attualmente manca un approccio capace di modulare in modo controllato questa soglia.

Metodi e Modello Q-LEAP



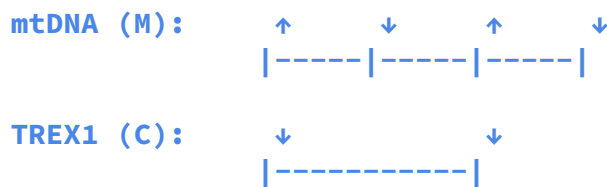
Definizione del sistema:

- M = carico di mtDNA
- K = soglia cGAS
- C = smorzamento TREX1

Strategia: modulazione temporale di C in combinazione con radioterapia per indurre attivazione pulsatile.

THERAPEUTIC CONTROL LOGIC

TIME →



EFFECT:

[PULSED K-BREAK ACTIVATION]

→ Avoid chronic saturation

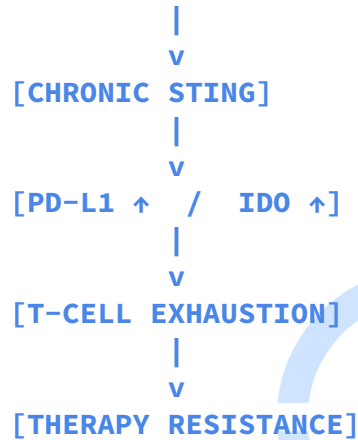
→ Maximize immune response

Outcome Attesi

Attivazione controllata del sistema immunitario con richiamo significativo di linfociti T citotossici funzionalmente attivi, evitando la stabilizzazione dello stato infiammatorio cronico.

FAILURE DYNAMICS

CONSTANT mtDNA RELEASE



DISCLAIMER

Questo documento è generato tramite un sistema di inferenza logica (Omikron Q-LEAP Framework v3.0) che applica modelli fisici e sistemici a dati biomedici teorici.

Le ipotesi e i punteggi riportati sono destinati esclusivamente alla ricerca e alla pianificazione sperimentale. Non costituiscono indicazioni cliniche né sostituiscono il giudizio medico.